

Abstrahlung:

$$\frac{dE}{dt} = \frac{d}{dt} \left( \frac{1}{2} M \dot{x}^2 \right) = -L, \quad E = M \cdot e$$

wir haben berechnet:  $\frac{dL}{dt} = \frac{32}{5} \frac{\mu^2}{M} r^4 \omega^6 = \frac{32}{5} \eta^2 X^5$

$\downarrow$   $\downarrow$   
 $x^{-4}$   $\omega^6$

PV-Korrekturen:

$$L(x) = \frac{32}{5} \eta^2 X^5 \left[ 1 - \left( \frac{1247}{336} + \frac{35}{12} \eta \right) X + \dots \right]$$

Sum.:  $L(x)$  ist eichunabh.  
~~total~~ Relation!

bekannt bis  $X^{7/2}$

Bestimme die Phase  $\phi(t)$  aus

$$\dot{\phi} = \omega = \frac{x^{3/2}}{M}, \quad \frac{d\phi}{dx} \frac{dx}{dt} = \frac{d\phi}{dt} = -\frac{L}{M \dot{x}}$$

$$\Rightarrow \frac{dx}{dt} = -\frac{1}{M} \frac{L}{\dot{x}}$$

$$\frac{d\phi}{dt} = \frac{x^{3/2}}{M}$$

(\*)

Wellenformmodelle:

- Taylor T1: (\*) numerisch lösen
- Taylor T4: rechte Seite von (\*) in  $X$  entwickeln ~~dann~~  
dann numerisch lösen
- Taylor T2: analytische Lösung  $t(x), \phi(x)$  als  
Potenzreihe in  $x$
- Taylor T3: analytische Lösung  $\phi(t)$  als Potenzreihe

Modelle geben verschiedene Lösungen, da sie auf  
Näherungen basieren

Taylor T4 funktioniert ~~meistens~~ am besten <sup>für gleiche Mannen</sup> (aus Vergleich mit num. Sim.)

Polarisationen:  $(\omega^2 r^2 = \frac{\mu}{r} = x)$

$$h_+ = -\frac{4\mu}{R} \frac{1 + \cos^2 \theta}{2} x \cos(2\phi) + \text{PV-Korrekturen}$$

$$h_x = -\frac{4\mu}{R} \cos \theta \cdot x \cdot \sin(2\phi) + \text{"}$$

"eingeschränkte" Wellenformen: PV Korrekturen weglassen

d.h. nur PV-Korr. in  $\phi(t), x(t)$

$\Rightarrow$  gute Näherung, da die Detektoren  $\otimes$  sensitiver  
für die Phase als für die Amplitude sind

Wellenformen im Frequenzraum

Taylor  $\hat{T} : T \hat{=} \text{time domain}$

Taylor  $\hat{F} : F \hat{=} \text{frequency domain}$

$$\tilde{h}_+(\omega) = \int dt h_+ e^{i\omega t} \xrightarrow{\omega \approx \dot{\phi} \cdot 2} e^{i[\omega t - \dot{\phi}(t)]}$$

Näherung: stationäre Phase  $\omega \approx \dot{\phi} \cdot 2$

Nach Rechnung:

$$\tilde{h}_+(\omega) = \frac{1 + \cos \theta}{2} \left(\frac{5\pi}{24}\right)^{1/2} \sqrt{\eta} \frac{M^2}{R} x^{-7/4} e^{i[\phi_c - \omega t_c - \psi(\omega)]}$$

$$\tilde{h}_x(\omega) = i \cos \theta \quad 11$$

mit  $\phi_c, t_c$ : Phase (Zeit beim Verschmelzen)

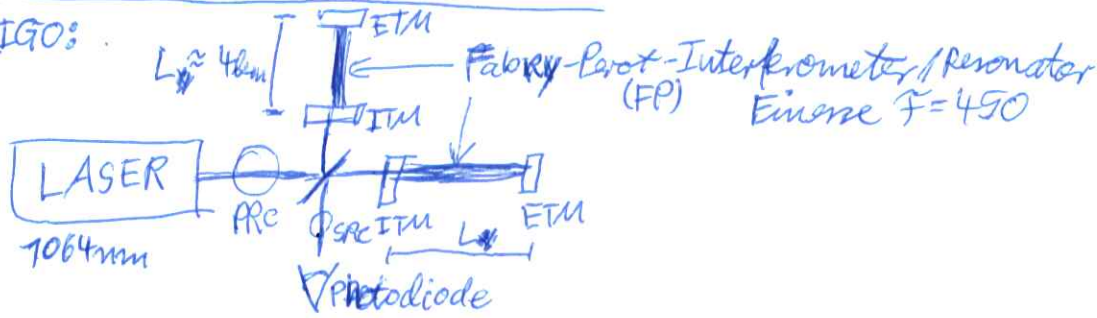
$$x := \left(\frac{1}{2} \omega_{\text{gw}} M\right)^{2/3}$$

$$\psi(\omega_{\text{gw}}) = -\frac{\pi}{4} + \frac{3}{128\eta} x^{5/2} \dots$$

$\downarrow$  Taylor F2

# Gravitationswellendetektoren

LIGO:



SRC: Signal-recycling cavity } weitere FP-~~Interferometer~~ Resonatoren  
 PRC: power " " }

4 Testmassen: 2x ITM (input test mass) } je 34cm x 20cm Quarzglas, 40kg  
 2x ETM (end test mass) } <sup>evw. kräftefrei</sup>

Testmassen können als frei "fallend" betrachtet werden: ( $\approx 10\text{ Hz}$ )

- Kräfte in vertikaler Richtung sind vernachlässigbar da Messung in horizontaler Ebene geschieht
- Aufhängung mindert Kräfte in vertikaler Richtung um 10 Größenordnungen: 3 durch aktive seismische Isolation, 7 durch mehrstufiges Pendelsystem

Behauptung: anfänglich ruhende Testmassen ändern in der TT-Eichung ihre Koordinaten nicht

Geodätengleichung:

$$0 = \frac{D u^\mu}{d\tau} = \frac{d u^\mu}{d\tau} + \Gamma^\mu_{\nu\rho} u^\nu u^\rho, \quad u^\mu = \frac{dx^\mu}{d\tau}$$

bei  $\tau=0$ : ~~bei  $\tau=0$ :  $u^\mu = 0$~~   $u^i = 0$  (in Ruhe)

$$\left. \frac{d u^\mu}{d\tau} \right|_{\tau=0} = - \left[ \Gamma^\mu_{00} \left( \frac{dx^0}{d\tau} \right)^2 \right]_{\tau=0}$$

$$= - \frac{1}{2} \eta^{\mu\sigma} (\partial_0 g_{\sigma\sigma} \cdot 2 - \partial_\sigma g_{00}) + O(v^2), \quad (\text{lineare Näherung})$$

$\left. \frac{d u^\mu}{d\tau} \right|_{\tau=0} = 0$  TT-Eichung:  $\Gamma^{\mu\nu}_{0\mu} = 0$

$\rightarrow L_x$  ~~ändert sich~~ <sup>ist</sup> konstant <sup>in TT-Eichung</sup> auch wenn die GW den Detektor passiert!